

ارزیابی کیفیت توده سنگ زیر سطحی با تلفیق نتایج وارونسازی داده‌های توموگرافی لرزه‌ای انکساری و مقاومت‌ویژه الکتریکی به روش خوشبندی طیفی

* بهمن محمدی^۱، ابوالقاسم کامکار روحانی^۲

^۱ دانشجوی دکتری رشته مهندسی معدن- اکتشاف، دانشگاه صنعتی شاهرود، bahmanmohammadi2005@gmail.com

^۲ دانشیار، دانشگاه صنعتی شاهرود، دانشکده مهندسی معدن، نفت و زئوفیزیک، kamkarr@yahoo.com

(دریافت ۱۶ آبان ۱۳۹۵، پذیرش ۱۹ اسفند ۱۳۹۶)

چکیده

هنگامی که ساختار داده‌ها غیرخطی باشد روش‌های کلاسیک خوشبندی با شکست رو به رو می‌شوند. در این حالت، خوشبندی طیفی روشی قدرتمند برای دسته‌بندی داده‌ها محسوب می‌شود. این تکنیک با تبدیل فضای ورودی، فضای جدیدی با قابلیت توصیف مناسب‌تر از داده‌ها را در اختیار قرار می‌دهد. در این مطالعه، ابتدا وارونسازی داده‌های مقاومت‌ویژه الکتریکی با روش کمترین مربعات گوس- نیوتون و با استفاده از نرم‌افزار RES2DINV انجام شد و سپس اولین زمان رسیدها با استفاده از نرم‌افزار PickWin محاسبه و وارونسازی داده‌های توموگرافی لرزه‌ای انکساری با استفاده از نرم‌افزار GeotTom CG انجام شد. بعد از محاسبه ماتریس شباهت، مقادیر ویژه و بردارهای ویژه به دست آمد و سپس داده‌ها با روش خوشبندی طیفی (Spectral clustering) مورد ارزیابی قرار گرفتند. با استفاده شاخص دان (Dunn index) برای بهینه سازی تعداد خوشبدها عدد ۱۲ به دست آمد که با توجه به نقشه‌های به دست آمده برای مقاومت ویژه الکتریکی و توموگرافی لرزه‌ای انکساری، تعداد خوشبدهای مناسبی است. نتایج روش خوشبندی طیفی همبستگی خوبی با نتایج لاغ گمانه حفاری شده در کف سد نشان می‌دهد. محاسبات مربوط به الگوریتم خوشبندی طیفی و شاخص دان با کدنویسی در محیط نرم‌افزار MATLAB انجام شده است.

کلمات کلیدی

وارونسازی، روش خوشبندی طیفی، توموگرافی لرزه‌ای انکساری، مقاومت‌ویژه الکتریکی، شاخص دان

۱- مقدمه

می‌کند، به کار برده شود. تحلیل خوش‌های طیفی در دهه اخیر محبوبیت زیادی پیدا کرده است و امروزه به طور گستردگی در مسایل مختلف داده‌کاوی با کاربردهای متفاوت استفاده می‌شود. برای مثال، تقسیم‌بندی تصویر به قطعات مختلف، استخراج ماتریس‌های توصیف‌کننده ژن، تشخیص دست خط و صوت یا صدا از این نمونه است [16,17,1,18,10,19].

۲- مواد و روش‌ها

۱-۲- وارون‌سازی داده‌های توموگرافی لرزه‌ای

مدل اولیه مربوط به ساختار مورد بررسی، با استفاده از شواهد زمین‌شناسی و داده‌های ژئوفیزیک به دست می‌آید و زمان سیر محاسبه شده و مشاهده شده با یکدیگر مقایسه می‌شوند. هدف از وارون‌سازی به حداقل رساندن اختلاف زمان سیر حاصل از مدل اولیه و زمان سیر مربوط به داده‌های واقعی (برداشت شده) طی یک فرایند تکراری است [20,21]. زمان سیر از رابطه ابه دست می‌آید:

$$t_i = \int_{l_i(z)} s.dl_i(z) \quad (1)$$

که در آن:

$$\begin{aligned} t &: \text{زمان سیر مربوط به پرتو آم} \\ s &: \text{مقدار کندی یا عکس سرعت} \\ l &: \text{طول پرتو آم (با عمق } z \text{ تغییر می‌کند).} \end{aligned}$$

۱-۱- توموگرافی اولین زمان رسید

توموگرافی اولین زمان رسید با استفاده از اولین زمان رسیدهای ثبت شده انجام می‌شود. در این روش مدل اولیه به تعدادی سلول تقسیم می‌شود و در نهایت حل مساله وارون با استفاده از یک الگوریتم مانند الگوریتم بازسازی تکرار همزمان یا SIRT و با رابطه ۲ انجام می‌شود.

$$dt_i = M.ds \quad (2)$$

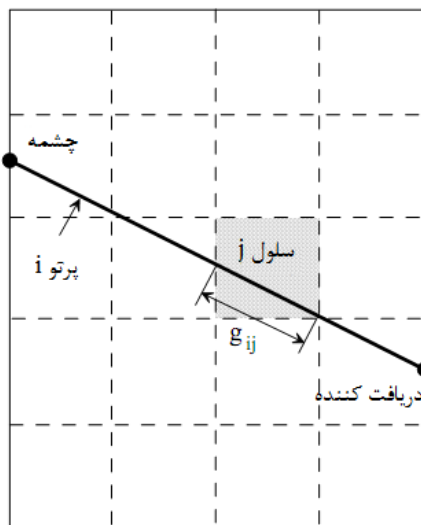
روش توموگرافی لرزه‌ای قادر به تصویرسازی از ساختمان داخلی زمین بر اساس سرعت سیر امواج است که می‌تواند به صورت گالری به گالری، گمانه به گمانه و سطح زمین به گمانه باشد. شکل ۱ نمایش شماتیک از یک مقطع توموگرافی شامل چشممه

خوش‌بندی یکی از مهم‌ترین روش‌های یادگیری بدون نظارت در زمینه شناسایی الگو و یادگیری ماشین است. هدف این تکنیک، یافتن ساختار در مجموعه‌ای از داده‌های بدون برچسب^۱ و دسته‌بندی آن‌ها است به صورتی که بعد از خوش‌بندی، داده‌هایی که به یک خوش‌های تعلق گرفته‌اند کاملاً مشابه با یکدیگر و متفاوت با داده‌های سایر خوش‌های باشند. وقتی که ساختار داده‌ها در فضای ورودی متعلق به نواحی محدب نباشد یا به بیان دیگر داده‌ها ساختار غیر خطی داشته باشند، نتیجه الگوریتم‌های کلاسیک در خوش‌بندی داده‌ها ضعیف خواهد بود [1]. در چنین موقعیت‌هایی یادگیری زیرفضا به عنوان راه حل برگزیده مطرح‌اند. هدف این دسته از الگوریتم‌ها، بازنمایی داده‌ها در فضای جدید و با ابعاد کمتر است. مزیت این دسته از الگوریتم‌ها در فضای جدید، بیانی مناسب‌تر برای توصیف داده‌ها است. از روش‌های موجود در این مورد می‌توان، یادگیری مانیفلد [2,3]، تحلیل طیفی [4,5] و روش‌های مبتنی بر کرنل [6,7] را نام برد. خوش‌بندی طیفی یکی از قدرتمندترین و محبوب‌ترین روش‌ها است که اولین بار توسط دونات و هافمن [8] در سال ۱۹۷۳ ارایه شده است. این الگوریتم سه مرحله اصلی دارد: محاسبه ماتریس شباهت، محاسبه بردارهای ویژه این ماتریس و کلاسیک‌بندی نتایج [9]. در مقایسه با الگوریتم‌های سنتی، خوش‌بندی طیفی برتری‌های بنیادی دارد. این خوش‌بندی، روش اجرای ساده دارد و به طور موثر با روش‌های جبری خطی استاندارد حل می‌شود [10,11]. روش‌های خوش‌بندی طیفی از مفهوم گراف طیفی برآمداند و از ماتریس شباهت برای کاهش بعد داده‌ها در خوش‌بندی استفاده می‌نمایند. برای داده‌های بزرگ این ماتریس به صورت پراکنده محاسبه می‌شود [12,13]. ایده اصلی در این دسته از روش‌ها ساخت یک گراف وزن دار بدون جهت بر اساس داده‌های ساخت به صورتی که رئوس گراف نشان دهنده مجموعه نقاط و هر یال وزن دار نشان دهنده میزان شباهت جفت داده متناظر آن است. الگوریتم‌های SLH(Scott, Longuet-Higgins) [14] و (Ng, Jordan, Weiss) [1] از جمله این روش‌ها است. خوش‌بندی طیفی، مانند دیگر روش‌های خوش‌بندی می‌تواند در هر زمینه علمی که با داده‌های تجربی سر و کار دارد و زیرمجموعه‌های داده‌های مشابه را شناسایی

2- Simultaneous Iterative Reconstruction Technique

1-Unlabeled

و گیرنده امواج لرزه‌ای، سلول‌بندی مقطع و پرتو لرزه‌ای است.



شکل ۱- نمایش شماتیک از یک مقطع توموگرافی شامل چشم و گیرنده امواج لرزه‌ای، سلول‌بندی مقطع و پرتو لرزه‌ای [22]. محور افقی و عمودی، بسته به نوع برداشت می‌تواند xy xz و یا yz بر حسب متر انتخاب شود.

می‌شود. مراحل معمول در فرآیند وارون‌سازی شامل قرائت اولیه داده‌های مقاومت ویژه، تصحیح پارامترهای وارون‌سازی در صورت لزوم و انجام وارون‌سازی است. در مدلسازی قبل از هر چیز به یک مدل فرضی اولیه برای انجام مدلسازی نیاز است [23]. روش مدلسازی وارون معمولاً از یک تکنیک بهینه‌سازی غیرخطی برای بهبود بخشیدن به یک مدل ساده اولیه استفاده می‌کند [24].

در این تحقیق، برای مدلسازی دو بعدی (2D) داده‌های مقاومت ویژه، از نرم‌افزار RES2DINV استفاده شده است. در این نرم‌افزار، مدل مورد استفاده به عنوان مدل اولیه شامل یک سری از بلوك‌های مستطیلی دو بعدی همان‌طور که در شکل ۲ نشان داده شده، در نظر گرفته می‌شود. در این مدل تعداد بلوك‌ها با تعداد نقاط داده‌ها در شبه مقطع مقاومت ویژه ظاهری برابر است و به یک شیوه مناسب مرتب شده‌اند. همچنین عمق مراکز بلوك‌ها در عمق میانگین تحت بررسی برای بازه‌های الکترودی مختلف استفاده شده قرار گرفته‌اند [23].

در این آزمایش زمان سیر موج و مختصات مکانی چشم‌ها و گیرنده‌های امواج به عنوان داده‌های اولیه در نظر گرفته می‌شود و مقطع تصویر شده نحوه توزیع سرعت را مشخص می‌کند. روش محاسباتی مبتنی بر حل معادله ماتریسی (رابطه ۳) است [22]:

$$t_j = \sum_{i=1}^{n} a_{ij} x_i \quad i=1, 2, \dots, n \\ j=1, 2, \dots, m \quad (3)$$

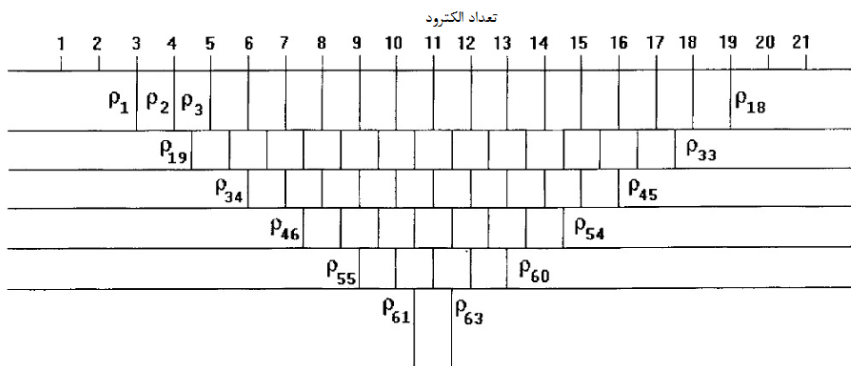
که در آن:

a_{ij} طول زامین پرتو در i امین سلول
 x_i عکس سرعت موج ($1/V$) در i امین سلول
 t_j زمان سیر زامین پرتو

برای حل این معادله ماتریسی چندین روش وجود دارد که بهترین روش استفاده از الگوریتم تکرار است.

۲-۲- مدلسازی وارون

در روش وارون‌سازی برخلاف مدلسازی مستقیم یا پیشرو با استفاده از داده‌های به دست آمده، مدل زمین تخمین زده



شکل ۲- ترتیب بلوک‌های مستطیلی مورد استفاده در مدل‌سازی دوبعدی [24].

و d_{\max} بزرگ‌ترین فاصله D_k یا به عبارتی ماقریزم فاصله (معمولاً اقلیدوسی) بین نقاط در خوشه‌های مختلف است (رابطه ۷):

$$d_{\max} = \max_{1 \leq k \leq K} D_k \quad (7)$$

شاخص دان با رابطه ۸ تعریف می‌شود.

$$c = \frac{d_{\min}}{d_{\max}} \quad (8)$$

۴-۲- الگوریتم خوشه‌بندی طیفی

الگوریتم‌های خوشه‌بندی طیفی ارتباط نزدیکی با تئوری گراف طیفی [5] دارند. این روش‌ها مبتنی بر افزار داده‌ها بر اساس تجزیه ویژه ماتریس شباهت و به دست آوردن بردارها و مقادیر ویژه آن است. در مجموعه‌ای با N داده d بعدی که $X = \{x_1, x_2, \dots, x_N\}$ است، می‌توان برای این مجموعه گراف وزن دار و بدون جهت ($G(V, A)$) را ساخت به صورتی که رئوس گراف $V = \{v_1, v_2, \dots, v_N\}$ نشان دهنده N داده و یال‌ها که ماتریس شباهت $N \times N$ را تشکیل می‌دهند بیانگر میزان شباهت بین هر جفت داده متناظر است. ماتریس شباهت با رابطه ۹ تعریف می‌شود:

$$A_{ij} = \begin{cases} h(x_i, x_j) & i \neq j \\ 0 & \text{otherwise} \end{cases} \quad (9)$$

تابع h میزان شباهت بین دو داده را اندازه می‌گیرد و می‌تواند یک تابع گوسی به شکل رابطه ۱۰ باشد.

پس از تخمین مدل اولیه نوبت به تصحیح این مدل با هدف رسیدن به انطباق قابل قبول با داده‌های صحرازی می‌رسد. برای این منظور دو روش مورد استفاده قرار می‌گیرد که عبارتند از روش معمول کمترین مربعات گوس-نیوتون و روش شبیه نیوتون

۳-۲- روش شاخص دان

روش شاخص دان یکی از روش‌های دقیق کمی برای محاسبه تعداد خوشه‌های بهینه در الگوریتم‌های مختلف خوشه‌بندی است. فاصله بین خوشه‌های C_k و $C_{k'}$ با محاسبه فاصله بین نزدیک‌ترین نقاط آن‌ها اندازه‌گیری می‌شوند (رابطه ۱۰) [25].

$$d_{kk'} = \min_{\substack{i \in I_k \\ j \in I_{k'}}} \|M_i^{(k)} - M_j^{(k')}\| \quad (10)$$

و d_{\min} کوچک‌ترین فاصله $d_{kk'}$ یا به عبارتی مینیمم فاصله (معمولاً اقلیدوسی) بین نقاط در خوشه‌های مختلف است (رابطه ۱۱):

$$d_{\min} = \min_{k \neq k'} d_{kk'} \quad (11)$$

برای هر خوشه C_k ، رابطه D_k به عنوان بزرگ‌ترین فاصله نقاط مشخص در خوشه (قطر خوشه هم نامیده می‌شود)، تعریف می‌شود (رابطه ۱۲):

$$D_k = \max_{\substack{i, j \in I_k \\ i \neq j}} \|M_i^{(k)} - M_j^{(k)}\| \quad (12)$$

۵- خوشبندی مجموعه داده بازنمایی شده \bar{Y} با استفاده از K-Means

ابزار اصلی برای خوشبندی طیفی، ماتریس لایلادسین گراف است. در تئوری گراف طیفی، لایلادسین های متفاوت گراف وجود دارد که در خوشبندی طیفی استفاده می کنند.

برای به کار بردن خوشبندی طیفی، بر اساس n مدل ورودی، یک گراف غیر جهت دار تولید می شود [28] و با ماتریس شباهت که ناهمگنی ساختاری همه مدل های ورودی را نشان می دهد، توصیف می شود. به طور پی در پی یک ماتریس لایلادسین گراف از گراف غیر جهت دار تعیین می شود، سپس مقادیر ویژه (طیف) و متناظر آن بردارهای ویژه از ماتریس لایلادسین گراف محاسبه می شود. بزرگترین مقادیر ویژه طیف تعیین و نظیر به نظر آن، بردارهای ویژه به عنوان ورودی برای تحلیل خوشبندی انتخاب می شوند. سرانجام، اطلاعات عضویت خوش بوده مدل اصلی دوباره به تصویر درآورده می شود تا یک مدل چند پارامتری منطقه بندی شده به دست آید [27].

تشابه های جفت جفت بین نمونه ها در یک فضای n بعدی، معمولاً با گراف های مشابه [28] با استفاده از گره ها (رئوس) و لبه های (اضلاع) مرتبط با دو گره، مدل می شود. تعداد گره ها در یک گراف برابر تعداد نمونه های ورودی است. تعداد لبه ها ممکن است تغییر کند، اما حداقل مقدار ممکن از لبه ها موقعی است که هر گره به همه گره های دیگر متصل باشد. در صورت نبود وابستگی جهتی در تشابه های جفت جفت، گراف غیر جهت دار می شود. تشابه های جفت جفت (رابطه ۱۰) در گراف های غیر جهت دار، عناصری از ماتریس شباهت A است که در واقع وزن دار شده ماتریس مجاورتی گراف اند. این یک ماتریس مربعی مقارن است که بعد آن برابر تعداد گره های گراف است [27].

۳- تحلیل نتایج

۱-۳ وارون سازی داده های ورودی

داده های توموگرافی لرزه ای و مقاومت ویژه الکتریکی از ساختگاه یکی از پروژه های سد در حال اجرا، در ایران برداشت شده است. با توجه به نتایج حاصل از وارون سازی داده های مقاومت ویژه الکتریکی، لایه های زیر سطحی مطابق شکل ۳ به دست آمد. در شکل ۳ همچنین نتایج حاصل از حفاری نیز آورده شده است. وارون سازی با روش کمترین مربعات گوس-

$$h(x_i, x_j) = \exp(-d^2(x_i, x_j) / \sigma^2) \quad (10)$$

که d فاصله بین دو نمونه را نشان می دهد. فاصله اقلیدو سی بین دو نمونه با پارامتر σ وزن دار می شود که این، کاهش تشابه را با افزایش فاصله نمونه (سرعت کاهش تابع h با افزایش فاصله بین دو نمونه) در فضای پارامتری، کنترل می کند. پارامتر σ به صورت تجربی تعیین می شود [26]. اگر بین ۱ تا ۱۰۰ انتخاب شود، یک اثر ضعیف روی نتایج خوشبندی داده های نرمال شده دارد. زمانی که داده ها غیر نرمال هستند، انتخاب σ خیلی مشکل است [27]. در ادامه الگوریتم استفاده شده در این مطالعه آورده شده است.

۱-۴-۲ روش NJW

ایده الگوریتم NJW (Ng, Jordan, Weiss) [1] استفاده از اولین k بردار ویژه متناظر با بزرگترین k مقدار ویژه ماتریس لایلادسین است. مراحل این الگوریتم به صورت زیر است:

۱- ساخت ماتریس شباهت با استفاده از رابطه ۹

۲- محاسبه ماتریس درجه D (رابطه ۱۱):

$$D_{ii} = \sum_{j=1}^n A_{ij} \quad (11)$$

و ماتریس لایلادسین (رابطه ۱۲):

$$L_N = D^{-\frac{1}{2}} A D^{-\frac{1}{2}} \quad (12)$$

۳- به دست آوردن اولین k بردار ویژه v^1, v^2, \dots, v^k متناظر با اولین k بزرگترین مقدار ویژه ماتریس N و تشکیل ماتریس ستونی (رابطه ۱۳):

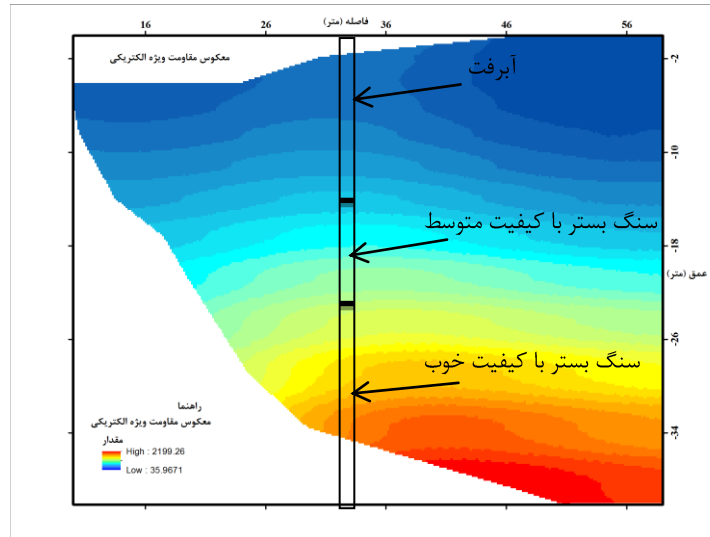
$$V = [v^1, v^2, \dots, v^k] \in R^{n \times k} \quad (13)$$

۴- نرمال سازی مجدد V و تشکیل \bar{Y} به طوری که همه سطرهای آن طول واحد داشته باشند (رابطه ۱۴):

$$Y_{ij} = V_{ij} / \sqrt{\sum_j V_{ij}^2} \quad (14)$$

متر در واقعیت است. لایه‌های به دست آمده نشان می‌دهد که مقاومت‌ویژه به طرف عمق به تدریج افزایش می‌یابد.

نیوتون و با استفاده از نرم‌افزار RES2DINV به دست آمده است. برای یکی کردن دو نقشه مقاومت ویژه و توموگرافی لرزه‌ای انکساری، داده‌ها از عمق ۱۴ متر به پایین و زیر سطح ایستایی در نظر گرفته شدند. عمق صفر در نقشه برابر عمق ۱۴



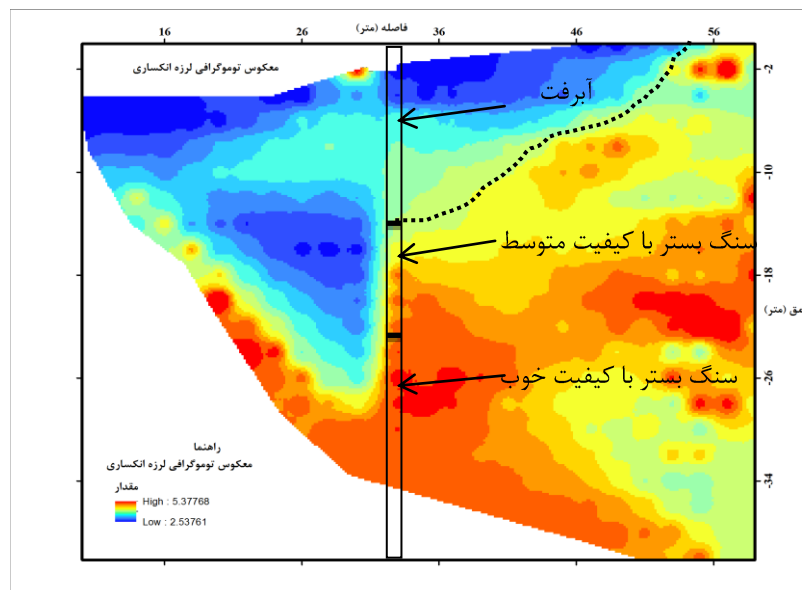
شکل ۳- نتایج وارون‌سازی مقاومت‌ویژه الکتریکی برای اعمق پایین‌تر از ۱۴ متری سطح زمین

حفاری محاسبه می‌شود، درصد مغزه بازیافتی^۱ است. به این منظور، مجموع طول مغزه‌های حاصل از حفاری را به طول معین حفاری تقسیم می‌کنند و درصد آن را به دست آورند. شاخص Fracture per m، نیز به تعداد درزه و شکاف در یک متر اشاره دارد.

گمانه KD3 در کف سد (در فاصله ۳۳ متری مقطع به دست آمده شکل ۴) حفاری شده و اطلاعات مغزه‌های آن مورد بررسی قرار گرفت. نتایج نشان می‌دهد که روش‌های ژئوفیزیکی مرز لایه آبرفت و سنگ بستر را به خوبی تفکیک کرده‌اند و تغییر خصوصیات در سنگ‌ها ممکن این مطلب است. با تلفیق لاغ حفاری شده و نقشه شکل ۴، مناطق آبرفت، سنگ بستر با کیفیت متوسط و سنگ بستر با کیفیت خوب ارزیابی شده است (بر اساس اطلاعات لاغ حفاری، ضخامت آبرفت ۳۰ متر است و با توجه به اینکه مقطع، از عمق ۱۴ متری به پایین است، بنابراین، در عمق ۱۶ متری (شکل ۴) مرز آبرفت مشخص شده است).

روش توموگرافی لرزه‌ای انکساری توانایی قابل توجهی در تشخیص ویژگی‌های لرزه‌شناسی لایه‌های زمین دارد. ابتدا با استفاده از نرم‌افزار PickWin اولین زمان رسیدهای به دست آمد و بعد با استفاده از نرم‌افزار GeotTom CG وارون‌سازی داده‌های توموگرافی لرزه‌ای انکساری انجام شد. با توجه به نتایج به دست آمده از این مطالعه، لایه آبرفتی و هوازده سرعتی معادل ۳ کیلومتر بر ثانیه و سنگ بستر سرعتی بالای ۴ کیلومتر بر ثانیه دارد. با کیفیت‌ترین قسمت‌های توده‌سنگ با سرعت‌های بالاتر از ۴۰۰۰ متر بر ثانیه‌اند. قسمت‌هایی با سرعت پایین، نواحی با کیفیت کم و یا آبرفتی‌اند (شکل ۴).

برای اعتبارسنجی مدل‌های به دست آمده، از اطلاعات یا نتایج لاغ برداشت شده از گمانه استفاده می‌شود (جدول‌های ۱ و ۲). مقدار RQD به ناپیوستگی موجود در توده سنگ وابسته است. به منظور محاسبه این شاخص، برای طول معینی از حفاری، طول مغزه‌های سنگ بزرگ‌تر از ۱۰ سانتی‌متر را اندازه‌گیری و مجموع آن‌ها را به طول حفاری معین شده تقسیم کرده و شاخص RQD را بر حسب درصد محاسبه می‌کنند و سپس توده سنگ رده‌بندی می‌شود. شاخص دیگری که هم زمان با محاسبه درصد RQD در محل گمانه در حال



شکل ۴- نتایج وارون سازی توموگرافی لرزه ای انکساری برای اعمق پایین تر از ۱۶ متری سطح زمین

جدول ۱- لایه گمانه حفاری شده در کف سد (مشخصات رنگ ها در جدول ۲ آورده شده است)

گمانه حفاری	KD 3
ارتفاع	2156
عمق (متر)	
10	
15	
20	
25	
30	
35	سنگ
40	
45	
50	
55	

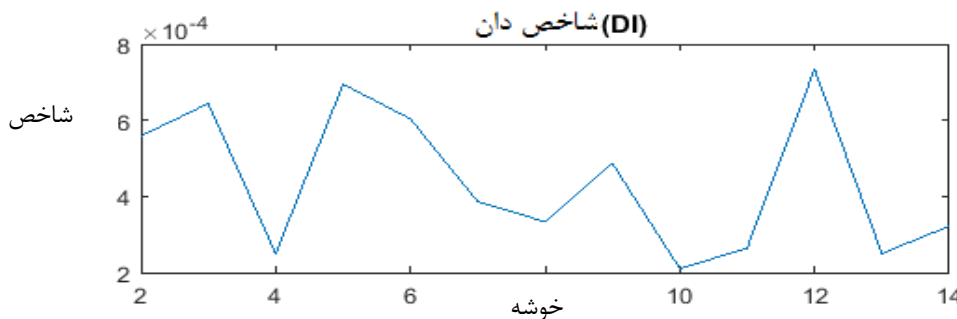
جدول ۲- راهنمای لایه گمانه حفاری شده

طبقه بندی مغزه	بازیابی مغزه (%)	شاخص کیفیت سنگ(%)	شکستگی ها در هر متر
عالی	90-100	90-100	0-1
خوب	75-89	75-89	2-4
متوسط	50-74	50-74	5-9
ضعیف	25-49	25-49	> 10
خیلی ضعیف	0-24	0-24	Fracture zone

سنگ بستر است. با بکار بردن فرمول‌های الگوریتم خوشبندی طیفی و شاخص دان (در بخش مواد و روش‌ها آمده است) در نرم‌افزار Matlab، کد محاسباتی برای آن‌ها نوشته شده و نقشه مربوطه ترسیم شد (شکل‌های ۵ و ۶).

۲-۳- خوشبندی طیفی داده‌های صحرایی

با استفاده از روش شاخص دان برای بهینه‌سازی تعداد خوشبندی عدد ۱۲ به دست آمد (شکل ۵) که با توجه به نقشه‌های مقاومت ویژه الکتریکی و توموگرافی لرزه‌ای انکساری (شکل ۳ و ۴)، تعداد خوشبندی مناسبی از لحاظ تفکیک مناطق آبرفتی و



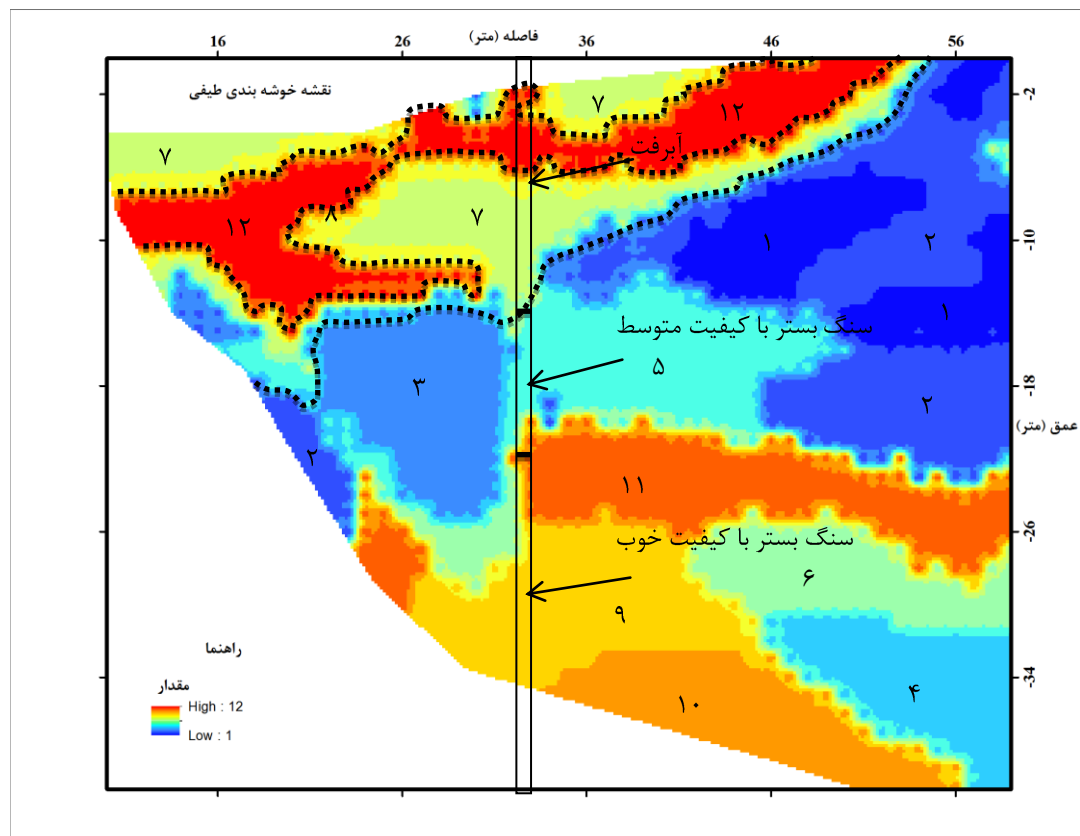
شکل ۵- شاخص دان که برای محاسبه تعداد خوشبندی بهینه مورد استفاده قرار گرفته است. در این شاخص حداکثر مقدار به دست آمده برای خوشبندی، به عنوان تعداد خوشبندی بهینه در نظر گرفته می‌شود. محور افقی تعداد خوشبندی و محور عمودی مقدار شاخص را نشان می‌دهد.

مناطق به خوبی عمل کرده و نسبت به روش‌های سنتی دقیق‌تر است. تحلیل خوشبندی طیفی در فرآیند تلفیق مدل، ناهمگنی فضایی موجود در همه مدل‌های توموگرافی را در برمی‌گیرد. در خوشبندی ۶ و ۴ که در شکل ۶ نشان داده شده است، سرعت موج P با توجه به نقشه‌های شکل (۳ و ۴) نسبت به لایه‌های بالاتر کاهش و مقاومت ویژه افزایش را نشان می‌دهد که این زمین‌شناسی این قسمت سنگ آهک متخلخل با تخلخل موثر پایین است. با تلفیق نتایج وارون‌سازی داده‌های توموگرافی لرزه‌ای انکساری و مقاومت ویژه الکتریکی با استفاده از روش خوشبندی طیفی کیفیت توده سنگ از ضعیف به خوب، مشخص و از ۱ تا ۱۲ در شکل ۶ ارزیابی شده است. تحلیل خوشبندی طیفی (شکل ۶) ناهمگنی موجود در دو مدل توموگرافی لرزه‌ای و مقاومت ویژه (شکل ۳ و ۴) را در بر گرفته است. مناطق آبرفتی (خوشبندی ۷، ۸، ۹، ۱۰) به دلیل از هم گسترشی ذرات، سرعت لرزه‌ای پایین دارند و نیز به دلیل رسانش بالاتر در اثر وجود رس و تخلخل، مقاومت ویژه الکتریکی پایین است. در محدوده سنگ بستر به طور نسبی به طرف عمق، سرعت لرزه‌ای و مقاومت ویژه الکتریکی افزایش می‌یابد. با توجه به نتایج حفاری و تحلیل مغزه‌ها و تطابق آن با خوشبندی طیفی (شکل ۶)، نتیجه گرفته شد که روش

مدلهای شکل‌های ۳ و ۴ نرمال شده و تحت تحلیل خوشبندی طیفی قرار گرفتند. با محاسبه تشابه‌های جفت جفت گوسین با $2 = 5$ (پارامتر ۵ در فرمول ۱۰ معرفی شده است) ماتریس شباهت به دست آمد. محاسبه تشابه‌های جفت جفت نیازمند همه مدل‌های مورد نظر است که باید به طور کامل در کنار هم قرار گیرند و به صورت یکسان از هم تفکیک شوند. بردارهای ویژه مطابق با بزرگ‌ترین مقادیر ویژه لایه‌های گراف مورد مطالعه قرار گرفتند (به دلیل بزرگ بودن ماتریس ۱۸۹۱ در ۱۸۹۱)، از آوردن مقادیر و بردارهای ویژه خودداری می‌شود. شکل ۶ مدل منطقه‌بندی شده نهایی را با یک جواب ۱۲ خوشبندی نشان می‌دهد. ساختارهای اصلی در مدل‌های لرزه‌ای و مقاومت ویژه (شکل‌های ۳ و ۴) به عنوان اطلاعات ترکیب شده با خوشبندی، نشان داده شده‌اند. هر زون می‌تواند با مقادیر سرعت موج P و مقاومت ویژه الکتریکی توصیف شود. در ناحیه آبرفتی سرعت موج P به دلیل از هم گسترشی ذرات و مقاومت ویژه به دلیل رسانش بالاتر، پایین است. با حرکت از سطح به عمق، سرعت موج P و مقاومت ویژه به طور نسبی افزایش نشان می‌دهد. نقشه ارایه شده در شکل ۶ که سه منطقه آبرفتی با کیفیت پایین توده سنگ ۹ منطقه سنگ بستر با کیفیت بالای توده سنگ را به صورت زون‌بندی نمایش می‌دهد و نیز با توجه به نتایج اعتبارسنجی، خوشبندی طیفی در تفکیک

تفکیک کرده و در خوشههای ۱ تا ۱۲ جای داده است.

خوشهبندی طیفی، لایههای مختلف زمین را به خوبی از هم



شکل ۶- مدل منطقه‌بندی به دست آمده با الگوریتم خوشه‌بندی طیفی از مدل‌های وارون نشان داده شده در شکل‌های ۳ و ۴ (زون‌ها (طبقه‌ها) با رنگ‌های آبی تا قرمز مشخص شده‌اند).

۴- نتیجه‌گیری

۵- مراجع

- [1] Ng, A.Y., Jordan, M., and Weiss, Y., 2002, *On spectral clustering: analysis and an algorithm*: Advances in Neural Information Processing Systems, 14.
- [2] Tenenbaum, J.B., deSilva, V., and Langford, J.C., 2000, *A global geometric framework for nonlinear dimensionality reduction*: Science, 290, p. 2319–2323.
- [3] Roweis, S.T and Saul, L.K., 2000, *Nonlinear dimensionality reduction by locally linear embedding*: Science, 290, p. 2323–2326.
- [4] Zhang , T., et al., 2008, *A unifying framework for spectral analysis based dimensionality reduction*: in IEEE World Congress on Computational Intelligence.
- [5] Chung, F.R.K., 1997, *Spectral Graph Theory*: CBMS Regional Conference Series in Mathematics, 92.

خوشه‌بندی طیفی یکی از قدرتمندترین و محبوب‌ترین الگوریتم‌های خوشه‌بندی است و در مقایسه با الگوریتم‌های خوشه‌بندی سنتی، برتری‌های بنیادی دارد. خوشه‌بندی طیفی روش اجرای ساده‌ای دارد و به طور موثر با روش‌های جبری خطی استاندارد حل می‌شود. با توجه به نتایج به دست آمده از ۱۲ کلاس مورد بررسی (که با استفاده از روش شاخص دان محاسبه شد)، سه کلاس در منطقه آبرفتی با کیفیت پایین توده سنگ و ۹ کلاس در منطقه سنگ بستر با کیفیت بالای توده سنگ واقع شده‌اند. با تطابق نتایج حفاری و تحلیل مغزه‌ها با خوشه‌بندی طیفی نشان داده شد که خوشه‌بندی طیفی در تفکیک مناطق عمقی به خوبی عمل کرده و نسبت به روش‌های خوشه‌بندی سنتی دقیق‌تر است. در فرآیند تلفیق مدل، تحلیل خوشه‌ای طیفی، ناهمگنی فضایی موجود در دو مدل توموگرافی لرزه‌ای و مقاومت ویژه را در بر می‌گیرد.

- [18] Zelnik-Manor, L., and Perona, P., 2005, *Self-tuning spectral clustering*: Saul, L. K., Weiss, Y., and Bottou, L., eds., Advances in neural information processing systems 17, MIT Press, 1601–1608.
- [19] Zhang, X., Jiao, L., Liu, F., Bo, L., and Gong, M., 2008, *Spectral clustering ensemble applied to SAR image segmentation*: IEEE Transactions on Geoscience and Remote Sensing, 46, 2126–2136.
- [20] Zhou, H., 1997, *Determination of velocities and interfaces by multi-scale tomography*: 67th Ann. Internat. Mtg, Society of Exploration Geophysicists, Expanded Abstracts, pp.1877-1880.
- [21] Zhou, H., 2003, *Multi-scale travelttime tomography*: Geophysics, 68, pp.1639-1649.
- [22] Lehmann, B., 2007, *Seismic travel time tomography for engineering and exploration applications*: EAGE Publications bv, pp.14.
- [23] Loke M.H., Barker, R.D., 1996a, *Rapid least-square inversion of apparent resistivity pseudosections using a quasi-Newton method*: Geophysical Prospecting, 44, 131-152
- [24] Loke, M.H., 2004, *Tutorial: 2-D and 3-D electrical imaging surveys*.
- [25] Desgraupes, B., 2013, *Clustering Indices*: University Paris Ouest, Lab Modal'X.
- [26] Kanaan, EL.B., Fadi, EL.F., Ashour, W., 2014, *Spectral Clustering Using Optimized Gaussian Kernel Function*: International Journal of Artificial Intelligence and Applications for Smart Devices, Vol.2 , No.1, pp. 41-56.
- [27] Hachmoler, B., Paasche, H., 2013, *Integration of surface-based tomographic models for zonation and multimodel guided extrapolation of sparsely known petrophysical parameters*: GEOPHYSICS, VOL.78, NO.4, PP43-53.
- [28] West, D., 2007, *Introduction to graph theory*: Prentice Hall.
- [6] Müller, K.R., et al., 2001, *An introduction to kernel-based learning algorithms*: Neural Networks, IEEE Transaction on, 12(2), p. 181–202.
- [7] Schölkopf, B. and A.J. Smola., 2002, *Learning with Kernels, Support Vector Machines, Regularization, Optimization, and Beyond*: Cambridge, MA, USA, MIT Press.
- [8] Donath, W.E and Hoffman, A.J., 1973, *Lower bounds for the partitioning of graphs*: IBM J. Res. Develop, Vol. 17, No. 5, pp. 420-425.
- [9] TREMBLAY, N., PUY, G., GRIBONVAL, R., VANDERGHEYNST, P., 2016, *Compressive Spectral Clustering*: Proceedings of the 33 rd International Conference on Machine Learning, New York, NY, USA, JMLR: W&CP volume 48.
- [10] von Luxburg, U., 2007, *A tutorial on spectral clustering*: Statistics and Computing, 17, 395–416.
- [11] Auffarth, B., 2007, *Spectral Graph Clustering*: Universitat de Barcelona, course report for Técnicas Avanzadas de Aprendizaje at Universitat Politècnica de Catalunya.
- [12] Hadjighasem, A., Karrasch, D., Teramoto, H., Haller, G., 2016, *Spectral-clustering approach to Lagrangian vortex detection*: PHYSICAL REVIEW E 93, 063107.
- [13] Wu, S., Feng, X., Zhou, W., 2014, *Spectral clustering of high-dimensional data exploiting sparse representation vectors*: Neurocomputing 135, 229–239.
- [14] Scott, G.L. and Longuet-Higgins, H.C., 1990, *Feature grouping by relocalisation of eigenvectors of the proximity matrix*: in British Machine Vision Conference, p. 103-108.
- [15] Perona, P. and Freeman, W.T., 1998, *A factorization approach to grouping*: in ECCV.
- [16] Shi, J., and Malik, J., 2000, *Normalized cuts and image segmentation*: IEEE Transactions on Pattern Analysis and Machine Intelligence, 22, 888–905.
- [17] Meila, M., and Shi, J., 2001, *Learning segmentation by random walks*: Leen, T.K., Dietterich, T. G., and Tresp, V., eds., Advances in neural information processing systems 13, MIT Press, 873–879.